

Algoritmos para casamento de Grafos

Hugo Paulino Bonfim Takiuchi

UFPR
2018

Artigo base

- An In-depth Comparison of Subgraph Isomorphism Algorithms in Graph Databases
- Jinsoo Lee
- Wook-Shin Han
- Romans Kasperovics
- Jeong-Hoon Lee

Sumário

- Introdução
- Algoritmo Genérico
- Algoritmos para casamento de grafos
 - Ullman
 - VF2
 - QuickSI
 - GADDI
 - GraphQL
 - SPath
- Experimentos
- Conclusão

Introdução

- Grafos para modelagem de problemas
 - Redes sociais
 - Moléculas
 - RDF
- Problema importante: Busca de grafos isomorfo em um grafo base

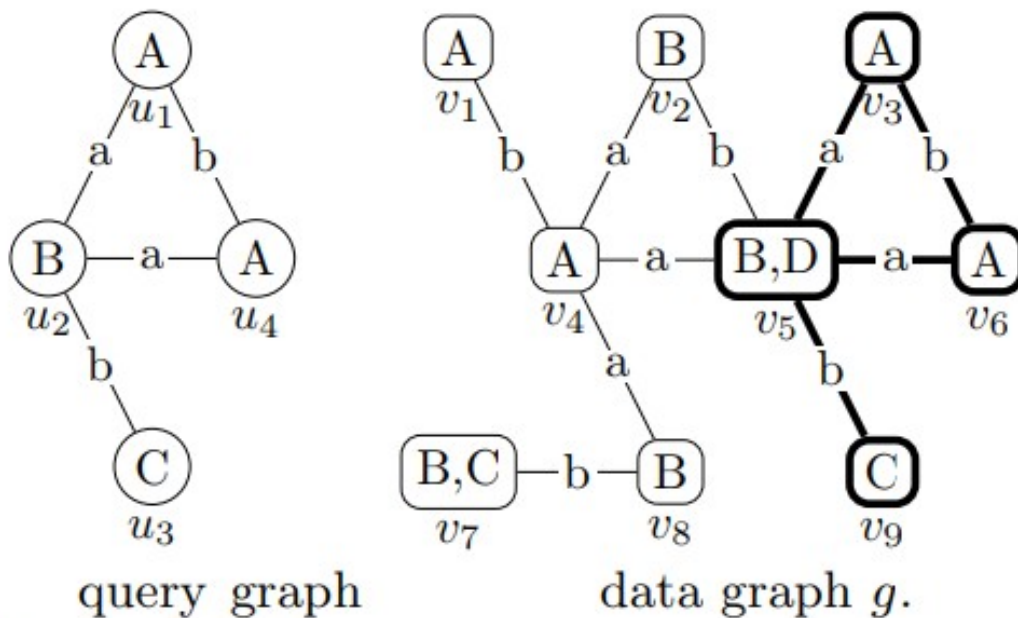
Introdução

- Grafos isomorfos: busca de um padrão de grafo em um grafo base
- Definição:
 - Grafo não-direcionado e rotulado (V, E, L)
 - Grafo busca (q) e Grafo dados (g)
 - Vértice busca (u) e vértice dados (v)
 - Função injetora $M: V \rightarrow V'$

Introdução

- Função injetora $M: V \rightarrow V'$
 - Vértices correspondentes
 - $\forall u \in V, L(u) \subseteq L(M(u))$
 - Arestas correspondentes
 - $\forall (u_i, u_j) \in E, (M(u_i), M(u_j)) \in E'$, então $L(u_i, u_j) = L(M(u_i), M(u_j))$.

Introdução



q .

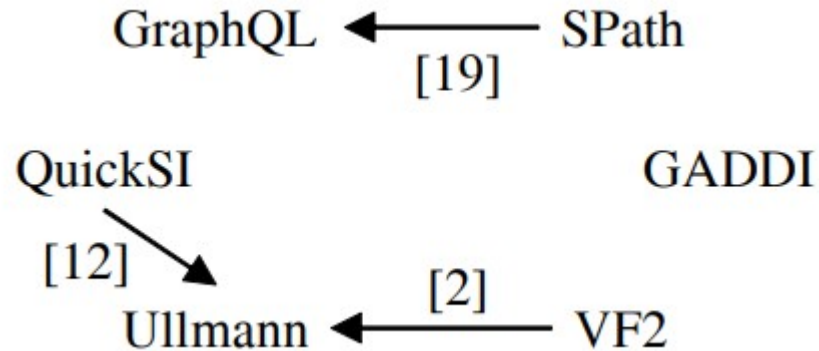
$$M_1 = \{(u_1, v_3), (u_2, v_5), (u_3, v_9), (u_4, v_6)\}$$

$$M_2 = \{(u_1, v_6), (u_2, v_5), (u_3, v_9), (u_4, v_3)\}$$

resulting subgraph isomorphisms.

Introdução

- Algoritmos Para busca de grafos isomorfos
 - Ullman, VF2, QuickSI, GraphQL, GADDI e Spath



Introdução

- Subgrafo induzido
- Solução parcial (subgrafo isomorfo)
- Conjunto de adjacência
- Vizinhança

Algoritmo Genérico

- Backtracking
- Incrementa solução parcial ou abandona o resultado
- Ideia geral: vértice inicial → grafo de busca

Algoritmo Generico

Algorithm 1 GENERICQUERYPROC

Input: query graph q

Input: data graph g

Output: all subgraph isomorphisms of q in g

```
1:  $M := \emptyset$ ;  
2: for each  $u \in V(q)$  do  
3:    $C(u) := \text{FILTERCANDIDATES}(q, g, u, \dots)$ ;  
    $[[ \forall v \in C(u)((v \in V(g)) \wedge (L(u) \subseteq L(v))) ]]$   
4:   if  $C(u) = \emptyset$  then  
5:     return;  
6:   end if  
7: end for  
8:  $\text{SUBGRAPHSEARCH}(q, g, M, \dots)$ ;  
Subroutine  $\text{SUBGRAPHSEARCH}(q, g, M, \dots)$   
1: if  $|M| = |V(q)|$  then  
2:   report  $M$ ;  
3: else  
4:    $u := \text{NEXTQUERYVERTEX}(\dots)$ ;  
    $[[ u \in V(q) \wedge \forall(u', v) \in M(u' \neq u) ]]$   
5:    $C_R := \text{REFINECANDIDATES}(M, u, C(u), \dots)$ ;  
    $[[ C_R \subseteq C(u) ]]$   
6:   for each  $v \in C_R$  such that  $v$  is not yet matched do  
7:     if  $\text{ISJOINABLE}(q, g, M, u, v, \dots)$  then  
8:        $[[ \forall(u', v') \in M((u, u') \in E(q) \implies$   
          $(v, v') \in E(g) \wedge L(u, u') = L(v, v')) ]]$   
9:        $\text{UPDATESTATE}(M, u, v, \dots)$ ;  
        $[[ (u, v) \in M ]]$   
10:       $\text{SUBGRAPHSEARCH}(q, g, M, \dots)$ ;  
11:       $\text{RESTORESTATE}(M, u, v, \dots)$ ;  
        $[[ (u, v) \notin M ]]$   
12:     end if  
13:   end for  
14: end if
```

Algoritmo Generico

Input: query graph q

Input: data graph g

Output: all subgraph isomorphisms of q in g

1: $M := \emptyset$;

2: **for each** $u \in V(q)$ **do**

3: $C(u) := \text{FILTERCANDIDATES}(q, g, u, \dots)$;

 [[$\forall v \in C(u)((v \in V(g)) \wedge (L(u) \subseteq L(v)))$]]

4: **if** $C(u) = \emptyset$ **then**

5: **return**;

6: **end if**

7: **end for**

8: $\text{SUBGRAPHSEARCH}(q, g, M, \dots)$;

Subroutine $\text{SUBGRAPHSEARCH}(q, g, M, \dots)$

Algoritmo Generico

Subroutine SUBGRAPHSEARCH (q, g, M, \dots)

```
1: if  $|M| = |V(q)|$  then
2:   report  $M$ ;
3: else
4:    $u := \text{NEXTQUERYVERTEX}(\dots)$ ;
    $[[ u \in V(q) \wedge \forall(u', v) \in M (u' \neq u) ]]$ 
5:    $C_R := \text{REFINECANDIDATES}(M, u, C(u), \dots)$ ;
    $[[ C_R \subseteq C(u) ]]$ 
6:   for each  $v \in C_R$  such that  $v$  is not yet matched do
7:     if ISJOINABLE ( $q, g, M, u, v, \dots$ ) then
8:        $[[ \forall(u', v') \in M ((u, u') \in E(q) \implies$ 
          $(v, v') \in E(g) \wedge L(u, u') = L(v, v')) ]]$ 
9:       UPDATESTATE ( $M, u, v, \dots$ );
        $[[ (u, v) \in M ]]$ 
10:      SUBGRAPHSEARCH ( $q, g, M, \dots$ );
11:      RESTORESTATE ( $M, u, v, \dots$ );
        $[[ (u, v) \notin M ]]$ 
12:     end if
13:   end for
14: end if
```

Ullman

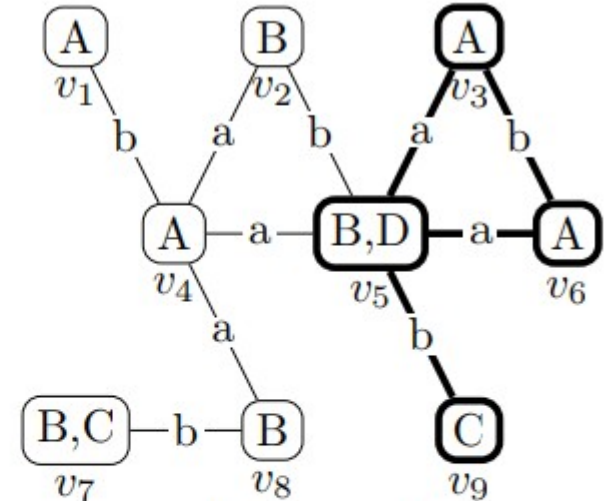
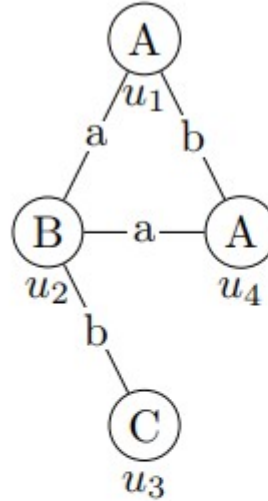
- Filter Predicates: Conjunto de vértices de G que casam com u
- Next Query Vertex: ordem FIFO
- Refine Candidates: Todos os vértices de $C(v)$ com grau menor igual a u
- Is Joinable: procura por todos os vértices adjacentes a u e busca no grafo de dados

VF2

- Listas para armazenamento
- Next Query Vertex: escolhe vértice ligados com vértices já comparados
- Refine Candidates: 3 etapas
 - Retira de $C(v)$ os vértices não ligados a vértices já buscados
 - $|C_q \cap \text{adj}(u)| > |C_g \cap \text{adj}(v)|$
 - $|\text{adj}(u) \setminus C_q \setminus M_q| > |\text{adj}(v) \setminus C_g \setminus M_g|$

VF2

- $M = \{(u_1, v_4)\}$ e u_2
- $M_q = \{u_1\}$
- $M_g = \{v_4\}$
- $C(u_2) = \{v_2, v_5, v_7, v_8\}$
- $C_q = \{u_2, u_4\}$
- $C_g = \{v_1, v_2, v_5, v_8\}$



q .

$$M_1 = \{(u_1, v_3), (u_2, v_5), (u_3, v_9), (u_4, v_6)\}$$

$$M_2 = \{(u_1, v_6), (u_2, v_5), (u_3, v_9), (u_4, v_3)\}$$

resulting subgraph isomorphisms.

VF2

- Etapa 1:
 - Retira v7

- Etapa 2:
 - $\text{adj}(u_2) \cap C_q = \{u_4\}$

$$\text{adj}(v_8) \cap C_g = \{\}$$

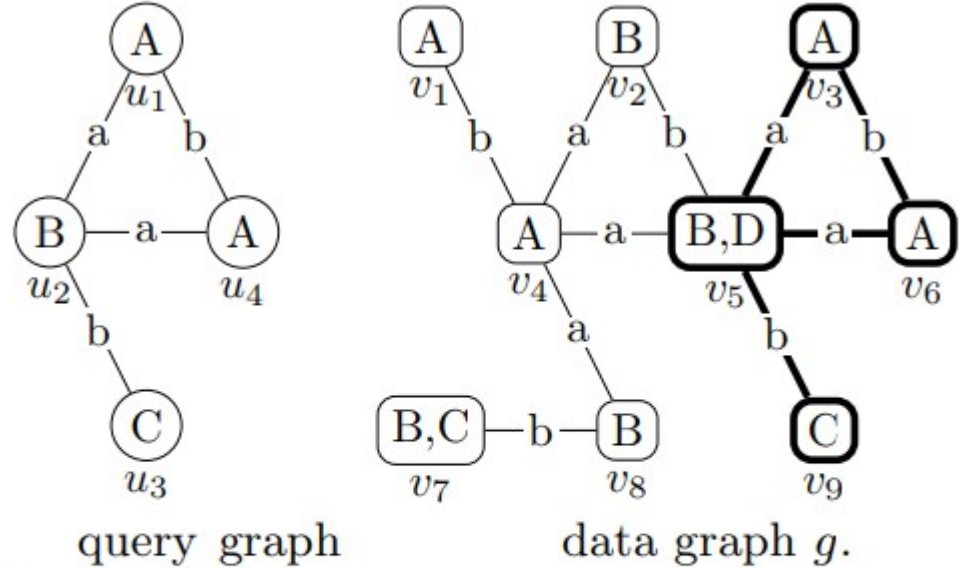
- Retira v8

- Etapa 3:

$$\text{adj}(u_2) \setminus C_q \setminus M_q = \{u_3\}$$

$$\text{adj}(v_2) \setminus C_g \setminus M_g = \{\}$$

- Retira v2



q.

$$M_1 = \{(u_1, v_3), (u_2, v_5), (u_3, v_9), (u_4, v_6)\}$$

$$M_2 = \{(u_1, v_6), (u_2, v_5), (u_3, v_9), (u_4, v_3)\}$$

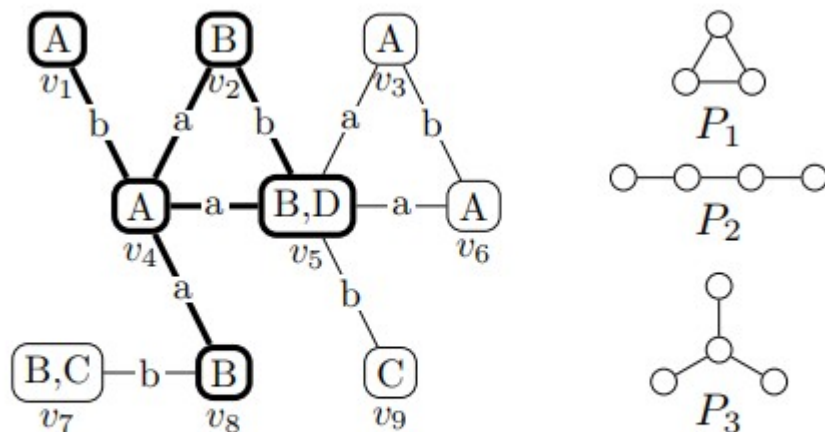
• resulting subgraph isomorphisms.

QuickSI

- Utiliza listas e árvores B+ para armazenamento
- Next Query Vertex:
 - escolhe com base no menos acessado
 - Árvore de mínimo
- Refine Candidates:
 - Pula o primeiro vértice
 - Verifica se o pai do vértice de busca tem correspondente no grafo de dados
- Is Joinable:
 - Vértices adjacentes e já comparados

GADDI

- Listas para armazenamento
- Distância NDS ($\Delta_{\text{NDS}}(v_1, v_2, P)$):
 - Quantidade de casamentos do subgrafo P em $Nk(v_1) \cap Nk(v_2)$



$$\Delta_{\text{NDS}}(v_1, v_4, P_1) = 3, \Delta_{\text{NDS}}(v_1, v_4, P_2) = 8, \\ \Delta_{\text{NDS}}(v_1, v_4, P_3) = 24$$

GADDI

- Utilização de $\Delta\text{NDS}(v1, v2, P)$:
 - Pegar 10 subgrafos induzidos mais frequentes
 - Criar tabela
 - Linhas = subgrafos induzidos
 - Colunas = subgrafos P
 - Selecionar 3 colunas com maior variação nos valores

GADDI

- Next Query Vertex:
 - Utiliza uma busca em profundidade
- Refine Candidates:
 - Para todos $u' \in N_k(u)$, se não existir um $v' \in N_k(v)$ que satisfaz:
 - $L(u') \subseteq L(v')$
 - $\Delta_{\text{NDS}}(u', u, P_i) \leq \Delta_{\text{NDS}}(v', v, P_i)$
 - Menor caminho entre u e $u' \geq$ menor caminho entre v e v'
 - Retira v de $C(u)$

GADDI

- Update State, Restore State:
 - mesma condições que Refine Candidates, porém invertidas (v' para u')
 - Retira/adiciona v'

GraphQL

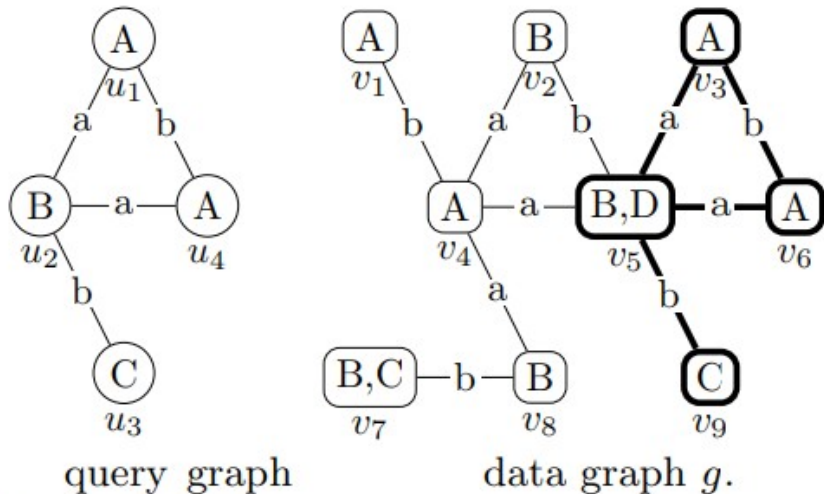
- Listas para armazenamento
- Filter Candidates: 2 etapas
 - Assinatura de vizinhança GraphQL
 - **sigGraphQL(u)** não contido em **sigGraphQL(v)**
 - Árvores de busca
 - Tu não contido em Tv para profundidade d
- Next Query Vertex: Estratégia gulosa
 - Vértice com menor $C(v)$ e ligados a vértices já comparados

SPath

- Listas para armazenamento
- Faz busca por caminhos ao invés de vértices
- Filter Candidates: Assinatura de vizinhança Spath
 - $\text{sigSPath}(u)$ = conjunto de triplas (d, l, c) sobre $N_{k_0}(u)$
 - $\text{sigSPath}(v_7) = (1, B, 1), (2, A, 1)$
 - $\text{sigSPath}(v_3) = (1, B, 1), (2, A, 2)$
 - Se não satisfaz $\text{sigSPath}(u) \leq \text{sigSPath}(u)$ para todos os rótulos e $k < k_0$ retira.

SPath

- $\text{sigSPath}(v_7) = (1, B, 1), (2, A, 1)$
- $\text{sigSPath}(v_3) = (1, B, 1), (2, A, 2)$



q .

$$M_1 = \{(u_1, v_3), (u_2, v_5), (u_3, v_9), (u_4, v_6)\}$$

$$M_2 = \{(u_1, v_6), (u_2, v_5), (u_3, v_9), (u_4, v_3)\}$$

resulting subgraph isomorphisms.

SPath

Subroutine SUBGRAPHSEARCH (q, g, M, k_0)

```
1: if  $|M| = |V(q)|$  then  
2:   report  $M$ ;  
3: else  
4:    $p_q :=$  NEXTQUERYPATH ( $q, g, k_0$ );  
5:    $P :=$  GETCANDIDATEPATHS ( $p_q, M, C$ );  
6:   for each  $p_g \in P$  do  
7:     if ISJOINABLE ( $p_q, p_g, M$ ) then  
8:       UPDATESTATE ( $p_q, p_g, M$ );  
9:       SUBGRAPHSEARCH ( $q, g, M, k_0$ );  
10:      RESTORESTATE ( $p_q, p_g, M$ );  
11:    end if  
12:  end for  
13: end if
```

Experimentos

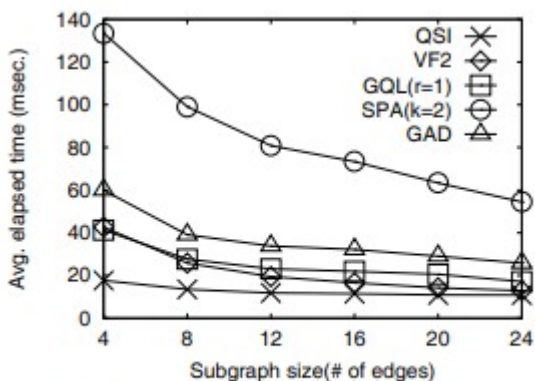
- 4 Banco de dados diferentes
- Todos os algoritmos foram implementados em C++
- Características observadas:
 - Espaço de armazenamento
 - Tempo de execução
 - Chamadas recursivas

Experimentos

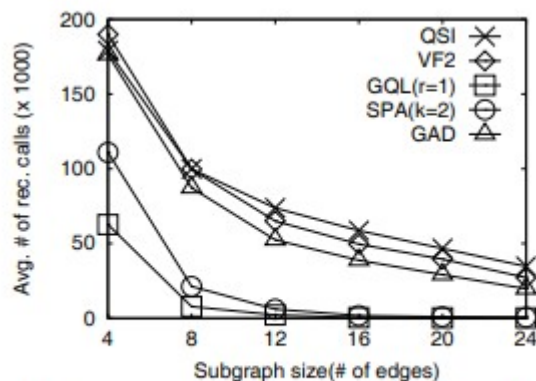
Dataset	AIDS	NASA	Yeast	Human
# of graphs	10000	36790	1	1
# of vertices	2~214	2~889	3112	4675
# of edges	1~217	1~888	12519	86282
Avg. degree	1.95	1	8.05	36.82
Max. degree	11	245	168	771
# of distinct v. labels	51	117302	184	90
# of distinct e. labels	4	0	0	0
Avg. # of labels per vertex	1	1	7.55	4.63

AIDS Dataset

Alg.	Size(MB)	# of total I/Os	Time(msec.)
VF2	9.25	1774	418
QuickSI	9.28	1780	671
GraphQL	12.59	2202	684
SPath($k_0 = 2$)	21.40	3330	1420
GADDI	21.47	3339	9064



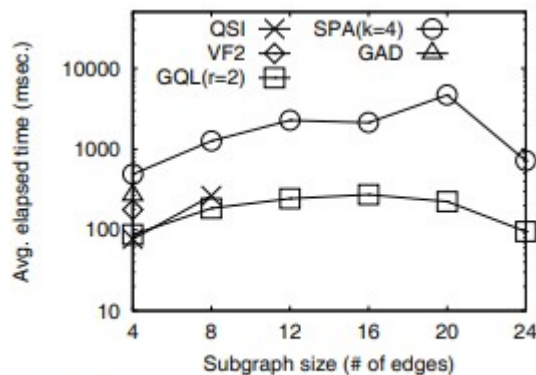
(a) average elapsed time.



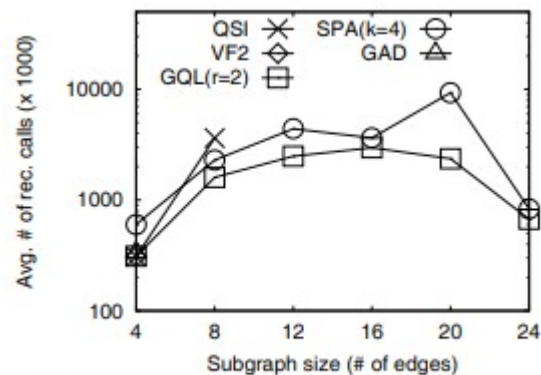
(b) avg. # of recursive calls.

NASA Dataset

Alg.	Size(MB)	# of total I/Os	Time(msec.)
VF2	44.04	8718	1697
QuickSI	58.99	10634	3769
GraphQL	57.65	10461	1950
SPath($k_0=4$)	257.68	36089	21737
GADDI	95.33	15288	32167



(a) average elapsed time.

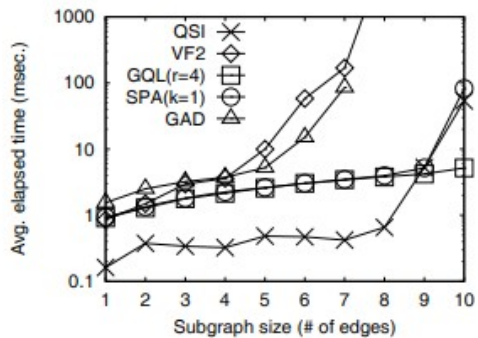


(b) avg. # of recursive calls.

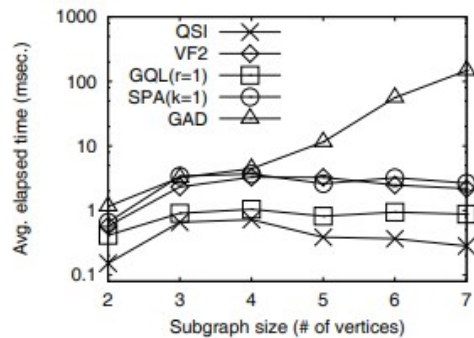
Yeast Dataset

Alg.	Size(MB)	# of total I/Os	Time(msec.)
VF2	0.41	89	46
QuickSI	1.07	175	378
GraphQL	2.03	296	284
SPath($k_0=1$)	3.73	514	437
GADDI	0.91	152	25272

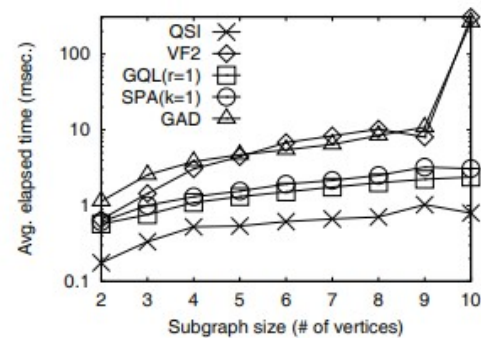
Yeast Dataset



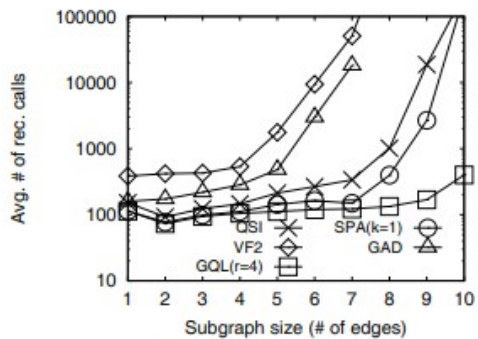
(a) subgraph queries.



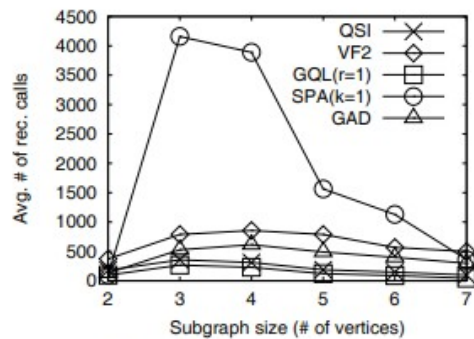
(b) clique queries (Y-axis in log scale).



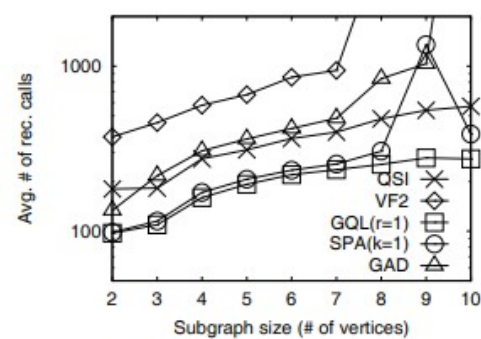
(c) path queries.



(a) subgraph queries.



(b) clique queries.

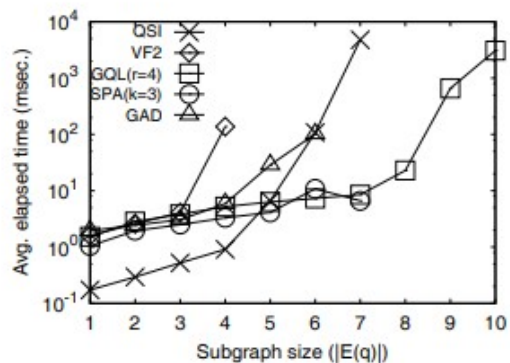


(c) path queries.

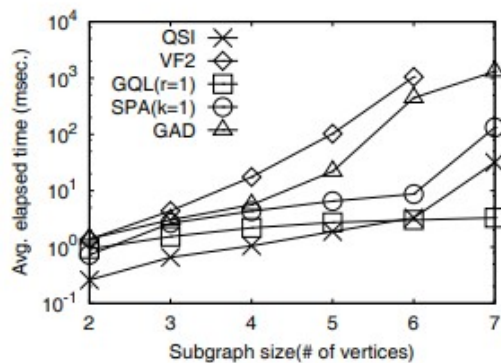
Human Dataset

Alg.	Size(MB)	# of total I/Os	Time(msec.)
VF2	1.55	349	93
QuickSI	1.72	373	964
GraphQL	8.13	1193	774
SPath($k_0=1$)	11.28	1596	1669
SPath($k_0=3$)	17.09	2340	3323
GADDI	4.88	775	624265

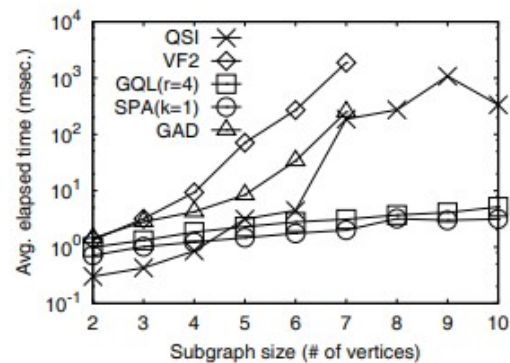
Human Dataset



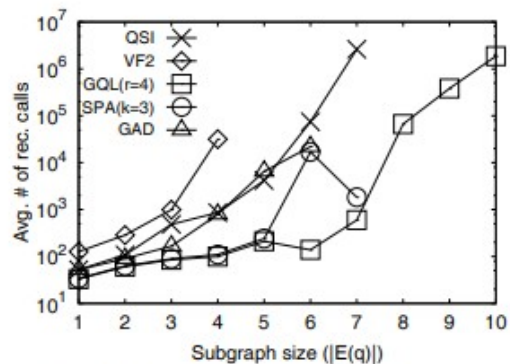
(a) subgraph queries.



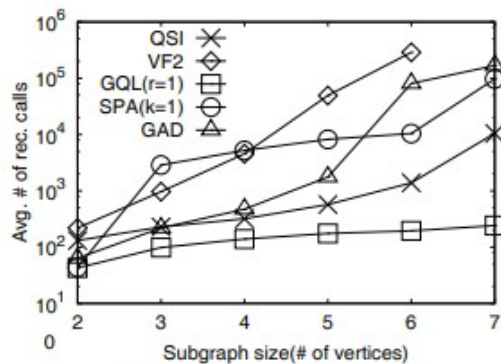
(b) clique queries.



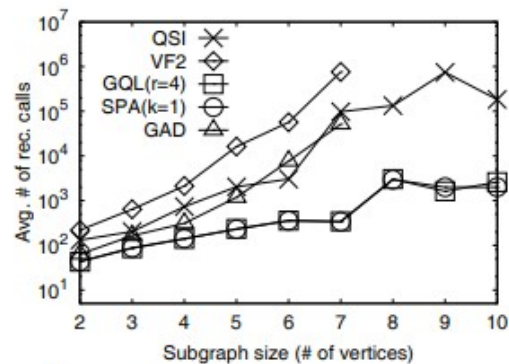
(c) path queries.



(a) subgraph queries.



(b) clique queries.



(c) path queries.

Conclusão

- QuickSI apresentou melhor rendimento para algumas bases de dados (AIDS e YEAST)
- QuickSI, VF2, GADDI não apresentaram tempo de execução adequado para NASA
- GADDI apresentou o pior rendimento do geral
- GraphQL apresentou tempo de execução adequado para todas as buscas
- GraphQL foi melhor que Spath
- Todos algoritmos apresentaram dificuldade em escolher próximo passo